

東京理⼯専門学校 正教授 森田 勇司

1. まえがき

蝶形破壊力学は、ブラックホール構成の切り欠きとそれを用いた構造物の强度や变形を、蝶形弹性論から得られる結果として取扱う分野である。それはブラックホールの相似な欠陥と対象とし、ブラック先端の力学的環境条件として、応力集中係数(K_f)、応力集中俓数(α_f)、最大応力集中俓数(α_{max})、解放率(δ)と呼ばれる。また、ブラック先端の塑性域の大きさがブラックの長さに比べて十分小さく、ブラック先端近傍では弹性変形としているものと見なされ、これが小規模降伏状態となり、材料の応力～ひずみ曲線が線形でない場合の弹性性質につれて、上記パラメータを用いて塑性域の寸法を加味することにより適用が可能であるとされる^{1), 2)}。

本報告は、これらをあわせてコンクリート構造物の切り欠き部における破壊力学の適用性を検討するための基礎的資料を得たために、セメントモルタルにおける最大荷重の適用性および切り欠き先端の塑性域寸法の算出について実験研究したものである。

2. 実験操作装置及び実験方法

セメントは普通ポルトランドセメント、細骨材は標準砂を使用した。セメント比は65%で、1ローラーは224mmである。養生は28日間標準養生を行なった、三等分点載荷法による荷重試験した。使用した切り欠き深さ比(W/W)は、0.05～0.50の範囲を用い、被覆は2mmで仕切(厚さ0.5mm)を用いて作製した。また、供試体の28日圧縮強度は33.6kgf/cm²、抗張強度は 20.1×10^4 kgf/cm²である。

3. 実験結果あると考察

3.1 切り欠き先端の応力～ひずみとの関係

図-1に切り欠き先端の応力～ひずみとの関係の一例を示す。図より求めた第1折点までの応力～ひずみを σ_1 , ϵ_1 とし、ひずみ～ひずみの関係を图-2に示す。図より求めたひずみの平均値は $\sigma = 22.7$ kgf/cm²(標準偏差3.81), $\epsilon = 36.3$ kgf/cm²(標準偏差5.24)程度の値を示し、前報³⁾の川井モルタルの場合とはほぼ同程度の値を示すことわかる。

3.2 塑性域補正寸法(γ_p)の算定

子偏ひずみ状態の場合、破壊モードは切り欠き先端に生ずる塑性域の大きさと評価するための塑性域補正寸法は(1)式に示すとよい。

$$\gamma_p = (K_{pl}/\sigma_y)^2 / 4\pi E \quad (\sigma_y: 障壁応力) \quad \dots \dots (1)$$

(1)式において障壁応力(σ_y)を便宜的に上記の σ , ϵ を用い、 K_{pl} は比較的安定した値を示す $a/W \approx 0.3 \sim 0.5$ とした $K_{pl} = 51.0$ kgf/cm²として、(1)式より求めた γ_p/W (JIS規格), γ_p/W (CE規格)と a/W との関係を图-3に示す。图より求めたひずみの平均値は $\gamma_p/W = 0.073$ (標準偏差0.003), $\gamma_p/W = 0.026$ (標準偏差0.003)程度の値を示すことわかる。

3.3 疎効き裂長さ(a_c)の算定

K_{pl} の値は本来、切り欠き深さ比などの影響をうけず一定値をとることのできる。しかし、実験では $10 \sim 40$ 倍程度の範囲で $a/W \approx 0.15$ 附近以下の範囲にありて、 K_{pl} 値が低下する傾向がある。そこで、 a/W にありて $K_{pl} = 51.0$ kgf/cm²とすための切り欠き長さ(a)の値を a_c と定め、 a/W と a_c/W との関係を图-5に示す。图より a/W と a_c/W と1次関数として近似すると(2)式が得られる。

$$a_c/W = 0.192 - 0.505(a/W) \quad (\text{相関係数 } 0.74) \quad \dots \dots (2)$$

3.4 γ_p と a_c との関係

塑性域補正寸法と疏効き裂長さとの関係を图-6に示す。图より明らかなように、 γ_p/W と a_c/W の関係と

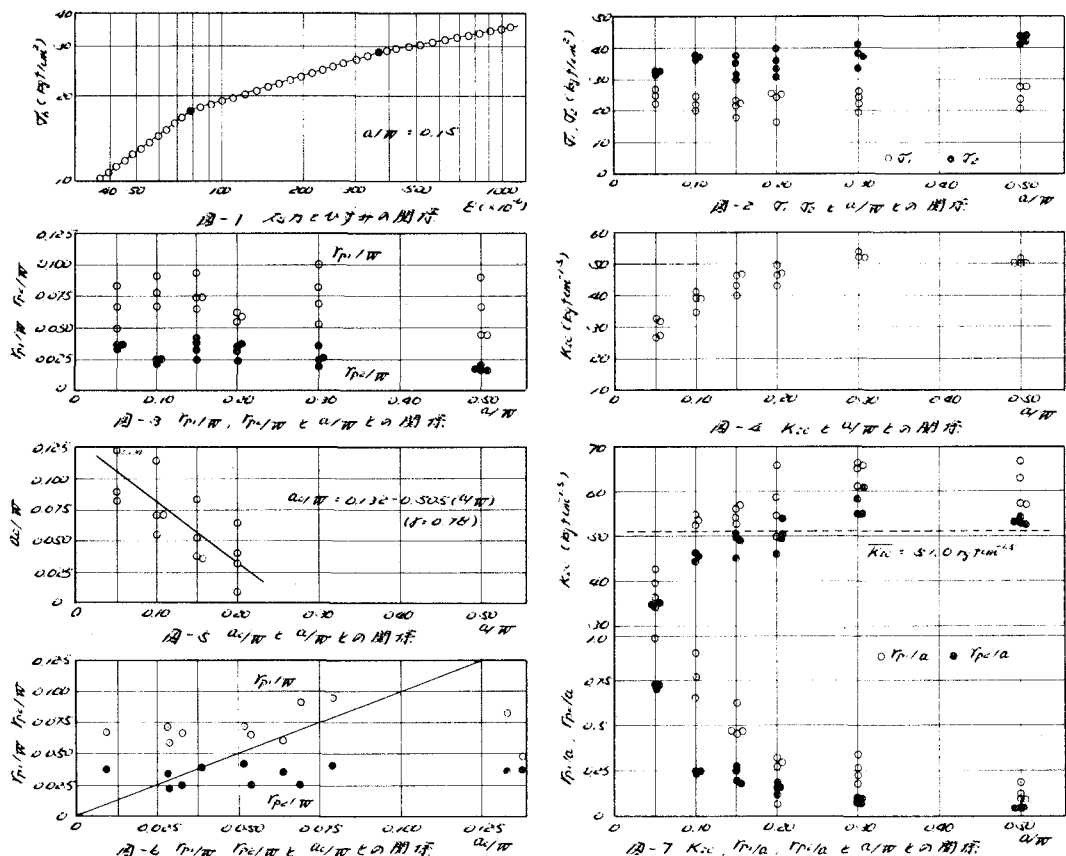
は起ぬべからず、 a/W に対して K_{Ic} の値が直線的安定した値を示すことで知られる。また、本報告に示されたコンクリートの降伏応力として、便宜的に第1折点応力を第2折点応力を併用したが、さらに適切な降伏応力を用いることにより、 a/W とよく一致した K_{Ic}/W の決定も可能である。

5) K_{Ic} に対する K_{Ic}/W の修正

切り欠き深さ比の値を加味することにより $(a+T_p)/W$ として求めた K_{Ic} 値と K_{Ic} との関係を図-1に示す。また、塑性域補正寸法 (T_p) の切り欠き深さ (a) に対する比と a/W との関係を図-2に示す。图-3 および图-4 からすると、本実験の範囲内においては、 $a/W \approx 0.10 \sim 0.15$ 附近以上での切り欠きに付いては、必ずしも K_{Ic} が K_{Ic}/W の直線性を示すが、 T_p/a の直線性を示す。また、 T_p/a に対する塑性域補正寸法の大きさが、より切り欠き長さの $1/4 \sim 1/5$ 程度以下の場合は有効であることがわかる。

6. 結論

コンクリートの降伏応力として、第1折点応力を第2折点応力を併用して、塑性域補正寸法 (T_p) を算出し、その直線性をもとに適用範囲を検討した。本実験の範囲においては、ほぼ $4\pi \approx 0.857$ 附近的切り欠きに対して、小規模降伏状態が満たされようであるが、これに検討を重ねる事が必要。



参考文献

1) Irwin, G.R.: Fracture Dynamics, Fracturing of Metals, ASM, 1948.

2) 不平博: 破壊力学と材料强度概念, 春風館, 1980.5年9月。

3) 森田義司: ロマントバーストの基礎と応用, 破壊力学の適用例に関する基礎的研究, 在学博士論文(昭和36年), 昭和57年, pp.203~206.